

矯正用 裝置物에 대한 TiN Ion Plating의 應用*

慶北大學校 齒科大學 齒科矯正學教室*, 齒科材料學教室**

權五源* 金教漢**

I. 序 論

矯正治療後의 審美的 向上보다도 治療中 非審美的인 矯正裝置物을 附着해야하는 心的 負擔感으로 인해 특히 成人 女性인 경우 矯正治療를 回避하는 傾向이 있다. 患者에게 이러한 心的 負擔感을 덜어주려는 努力은 오래전 부터 있어 왔으며, 그例로 bracket을 齒牙에 直接 接着시켜 固定性 矯正裝置의 非審美性을 어느 정도 緩下시킨 DBS의 開發을 들수있다. 그후, 齒牙와 色相이 類似한 resin bracket, ceramic bracket 등이 開發되었으나 長期間 接着시 나타나는 變色, 破切및 bracket除去의 어려움, 高價등으로 인해 實質的으로 臨床에는 널리 利用되고 있지는 않다. Bracket, band 및 矯正用 線材는 非貴金屬 特有의 金屬色을 나타내므로 審美的인 問題를 안고 있고 이러한 問題를 解決하기 위하여 線材위에 테프론을 입힌다든가, 金屬이외의 材料의 開發등이 行하여지고 있으나 이것들 역시 磨耗나 變色등에 약한 缺點을 안고 있다.

工業的으로도 審美性뿐만아니라 耐蝕, 耐磨耗性을 增加시키기 위하여 오래전 부터 鍍金技術이 利用되어 왔고, 이러한 鍍金技術은 現在에 이르러 深刻한 公害問題를 惡起시켜 그 使用의 限界에 달하였다.

1960年代 真空 蒸着 技術과 低溫 plasma技術을 應用한 ion-plating法이 開發된 이래, 現在에는 耐蝕, 耐磨耗¹⁾, 裝飾²⁾등의 目的으로 被

處理材에 수 μm 에서 수십 μm 까지 이르는 皮膜을 蒸着시킬수 있고, 基板으로는 金屬, glass에서 最近에는 특히 plastic 材料까지 對象이 될뿐아니라, 化合物이나 複合材料의 皮膜도 얻어지게 되었다³⁾.

Ion-plating法이란 從來부터 있었던 真空 蒸着 技術의 한 方法으로 蒸發原에서 蒸發시킨 粒子의 一部를 어떠한 方法으로 이온화시키고, 다른 中性 粒子와 같이 基板에 入射시켜 薄膜을 形成하는 方法을 말한다. 따라서 ion-plating法에는 粒子를 어떤식으로 이온화 시키느냐에 따라 여러가지 方法이 있을 수 있다⁴⁾.

한편 齒科材料를 對象으로한 ion-plating法의 應用은 그例가 많지 않으나 吉成은 齒科用 修複物로 利用되는 各種 金屬에 TiN ion-plating⁵⁾을 한후 TiN 膜의 基礎的 性質을 調查하여, 耐變色性, 耐磨耗性이 向上되었고, 機械的 性質도 增加하였다는 것을 報告하였다. 또, 腐蝕性이 강한 金屬에 Type IV gold alloy의 ion-plating⁶⁾, 및 Al alloy의 TiN ion-plating⁷⁾한 結果 그 耐蝕性이 현저히 增加하였다고 報告하였다. 또, implant 材料인 stainless steel의 生體 接合性을 높이기 위하여 Al_2O_3 의 ion-plating⁸⁾을 행한 結果 耐蝕性이 현저히 改善되었다고 報告하였다.

따라서 本研究에서는 高硬度, 耐久性, 耐磨耗性 및 耐蝕性이 優秀하고 금빛의 광택으로 審美的으로도 뛰어난 TiN 薄膜을 矯正用 材料에 ion-plating시킴으로써, 矯正用 裝置物의

* 본 연구는 1989년 문교부 학술연구 조성비(일반 과제)의 지원으로 이루어진 것임.

審美性을改善시킴을 그目的으로하여 TiN ion-plating膜의色彩的性質, ion-plating膜의性狀및機械的性質을觀察하여矯正用裝置物에 대한 TiN ion-plating膜의蒸着의可能性을檢討하였다.

II. 實驗材料 및 方法

I. 實驗材料 및 前處理

本實驗에서는美國Rocky Mountain社의 stainless-steel系의 .180"×.005"의 roll band와獨逸Dentaurum社의 stainless-steel系材料인 Remanium 0.9mm의圓形線材를利用하였다.

Ion-plating을實施하기전 #1200의 sand paper로研磨後 trichloroethan, NaOH, distilled water, isopropyl alcohol등에 차례로超音波洗滌하여脫脂를行하였다. 脫脂된試片은真空曹內에서真空(約 10^{-5} torr)으로排氣한 다음 4×10^{-2} torr정도로 Ar gas를注入하여基板에 200V의電壓을가하면서約10분간 Ar gas bombardment를行하므로써密着力을높이기 위한前處理를行하였다.

2. TiN ion-plating處理

本實驗에서使用한 TiN ion-plating處理裝置는 ARC放電形高真空ion-plating裝置(PG-SY, Ion-plating system, Shinko Co.,

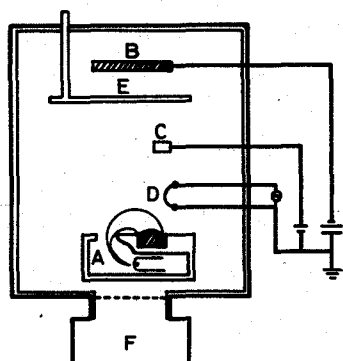


Fig. 1. Schematic diagram of ARC discharge type high-vacuum ion-plating system.

Japan)이며 그原理圖는 Fig. 1에 나타내고 있다. 本實驗에서 使用한 ARC放電形高真空ion-plating裝置는商業用으로利用되는裝置로서 特別한放電用gas를 使用하지않고蒸發物의蒸氣壓을利用하여arc放電을일으켜蒸發物을 이온화시키는原理를가진다. 이裝置의真空曹內에는蒸發原, 이온화電極, 試片, shutter를 두고蒸發物에 대해서는熱全射放射用電極이設計되어있다. 真空曹內에는 $10^{-3}-10^{-5}$ Pa($10^{-5}-10^{-7}$ torr)의高真空을維持하도록排氣하고電子beam方式에 의해蒸着材를蒸發시킨다. electrongun에 의하여電子beam을發生시키면서蒸發物(Ti)에靜電壓을걸어주면,蒸發物에서放出하는熱電子혹은2次電子는이온화電極과만나게되어電子들과蒸發粒子의충돌에 의해이온화된다. 즉, $M\rightarrow M^++e^-$ 와 같은形態로+이온과-이온으로分離되고, 이이온은試料周圍의強한電界에 의해加速되어, 높은에너지를가지면서反應性gas와反應하여被處理物에蒸着된다. 이때反應性gas는질소(N_2)를利用하고, 그結果約 $1-2\mu m$ 의TiN皮膜이形成된다. 이때真空曹內의溫度를 $250^\circ C$ 정도로維持시켜蒸着後真空曹의溫度가 $100^\circ C$ 以下로下降한 다음真空曹를열어試片을安全하게꺼낸후데시케이트에保管하였다.

3. TiN ion-plating膜의色彩的性質

Ion-plating한 roll band試片의色彩的性

- A : Electron gun
- B : Substrate
- C : Ionization electron
- D : Filament
- E : Shutter
- F : Vacuum system

質을 测定하기 위하여 测色 色差計(TC-6FX, Color and Color Difference Meter, Tokyo Denshoku Co., Japan)를 使用하였다. 이 裝置는 國際 照明 委員會(CIE : Commission International l'Eclairage)의 標準 C 光原을 利用하여 光原에 대한 3자극치 X, Y, Z(X : 光原에 대한 赤色의 平均 反射率 量, Y : 綠色의 平均 反射率 量, Z : 青色의 平均 反射率 量)를 구하고 이 값으로부터 Hunter의 色空間 座標界의 L^* , a^* , b^* 를 다음 式에 의하여 구하였다.

$$L^* = 10.0\sqrt{Y} \quad a^* = 17.5(1.02X - Y)/\sqrt{Y} \quad b^* = 7.0(Y - 0.847Z)/\sqrt{Y}$$

여기에서 L^* 은 明度를 나타내며 0부터 100 까지의 값을 가지고, a^* 는 赤色, 綠色의 程度를 나타내는 指標로서 -60에서 80까지로 값이 크면 赤色, 값이 작을수록 綠色을 나타낸다. 또한 b^* 는 黃色, 青色의 程度를 나타내고 範圍는 -80에서 60까지이고 값이 클수록 黃色, 작을수록 青色에 가깝다. 한편 色相(H : Hue)과 彩度(C : Chroma)는 a^* , b^* 값으로부터 얻어지고, 明度는 L^* 값으로 얻어진다.

本 實驗에서는 ion-plating한 3個의 試片을準備하고 各 試片당 5回씩 色調를 测定하여 ion-plating膜의 色彩的 性質을 测定하여 純金, 金合金등의 色彩的 性質과 比較하였다.

4. Ion-plating 膜의 性狀調查

1) 蒸着層의 두께 觀察 및 表面組織 觀察

蒸着層의 두께는 試片의 切斷面을 垂直으로 세워 mounting한 다음 研磨하여 注射電子顯微鏡(S-2300, SEM, Hitachi Co., Japan)으로 觀察 测定하였다.

蒸着層의 表面 組織 역시 注射電子顯微鏡에 의하여 觀察하였다.

2) X-線 回折 實驗

皮膜을 形成한 蒸着層의 相(Phase)을 確認하기 위하여 X-線 回折 分析機(D/Max-3C, Rigaku Co., Japan)을 使用하여 测定範圍 θ 를 35° - 65° 로 하여 测定하고, Table 1에 있는

것과 같은 JCPDS card를 利用하여 ion-plating하지 않은 試料와 比較 分析하였다.

Table 1. Characteristics of JCPDS card 6 - 0642 (TiN)

Angle (deg)	d (Å)	I/I _{max} (%)	hkl
36.79	2.44	75	111
42.61	2.12	100	200
61.97	1.496	55	220

3) 蒸着層의 密着性 测定

本 實驗에서는 母材와 TiN ion-plating 膜 사이의 密着力을 测定하기 위하여 Scratch test方法을 利用하였고 그 原理 및 AE-load diagram을 Fig. 2에 나타내었다.

이 方法은 半球形으로 된 diamond tip stylus에 一定한 荷重 또는 連續的으로 荷重을增加시키면서 皮膜을 긁는데 이때 蒸着層과 母材 사이의 界面이 最初로 分離되는 荷重을 臨界荷重(Critical Load)이라 하고, 이러한 臨

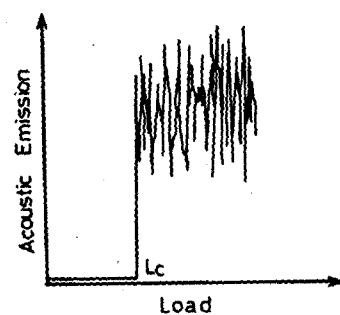
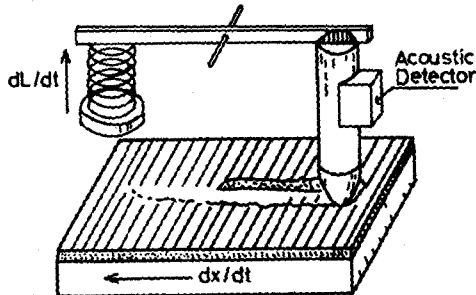


Fig. 2. Schematic illustration of the scratch adhesion test and typical acoustic emission signal and load graph.

界荷重은 光學 및 電子顯微鏡, 音響放出信號(Acoustic Emission Signal)등으로決定하고 이 값을 材料의 相對的인 密着性을 나타내는 變數로 使用하였다.

本 實驗에서는 Automatic scratch tester (REVEST, CSEM Co., Switzerland)를 使用하였으며, 實驗 條件은 diamond tip radius : 200 μm , loading rate : 100N/min, scratching speed : 10mm/min로 하였다.

또, 蒸着層이 母材로부터 flacking이 發生되는 failure mode를 觀察하기 위하여 scratch channel部分을 注射電子顯微鏡으로 觀察하였다.

5. 引長 試驗

Ion-plating을 할 경우 真空曹 内의 溫度가 약 200°C-250°C 정도로 上昇되므로써 나타날수 있는 母材의 機械的 性質의 變化를 確認하기 위해서 引長 試驗을 行하였다.

引長 試驗은 ion-plating 處理를 하지 않은 試料와 ion-plating한 試料를 각각 全體길이 100mm, 測定길이 50mm로 하여 萬能試驗機(4202, Instron, Instron Co., USA)에 의해 5個의 試驗片에 대하여 實驗한 後 附着된 micro processor에 의해 引長強度, 降伏強度, 延伸率을 각각 測定하였다.

III. 實驗 結果 및 考察

1. TiN ion-plating 膜의 色彩的 性質

本 實驗에서 얻어진 TiN ion-plating 膜의 色彩的 性質의 結果를 Fig. 3에 나타내고 있다. L*값은 61.8이었고, 이 값은 Type IV gold alloy의 L*값인 65.9보다도 작은 값이었으며, a*, b*의 값도 3.3, 26.2로 거의 2.5Y의 色相과 약 4의 彩度를 보인다. 이 값은 Type IV gold alloy보다 약간 黃色이 強하고, 彩度가 큰 色彩的 性質을 보이며, Type II gold alloy와는 비슷한 彩度에 약간 强한 黃色

빛을 내며 純金보다는 낮은 彩度에 역시 약간 强한 黃色을 보이고 있다.

Ion-plating에 의해서 얻어진 TiN 膜의 色調는 反應 gas로 利用되는 N₂ gas의 分壓에 의해 彩度가 쉽게 바뀌어진다. 本 實驗에서는 N₂ gas 分壓을 6×10⁻⁴torr로 하였지만, N₂ gas 分壓을 6×10⁻⁴torr에서 4×10⁻³torr까지增加시키면 흰색빛이 나는 金色 즉, hamilton 色과 같은 色調에서 푸른빛이 나는 green gold, 그리고 純金에 가까운 yellow gold와 같은 色으로 變化한다⁹⁾. 또한 本 實驗에서와 같이 6×10⁻⁴torr 부근의 N₂ gas 分壓이 되면 붉은 色을 띠는 pink gold에 가까운 金色을 나타내기 때문에 약간 强한 黃色을 나타낸 것으로思料된다. 또한 色相도 질소 가스이외의 가스(수소 가스, 산소 가스, 탄화수소 가스)를 同時에 微量 添加하는 것에 의해서도 變化가 可能하다.

本 實驗에서는 질소 가스를 單獨으로 使用하였기 때문에 약간 黃色이 强한 色相을 보였지만, 위에서 말한 바와 같이 가스 分壓이나 反應 가스의 種類를 變化시키므로써 色調를 쉽게 變化시킬 수 있는 것으로 생각되어 진다.

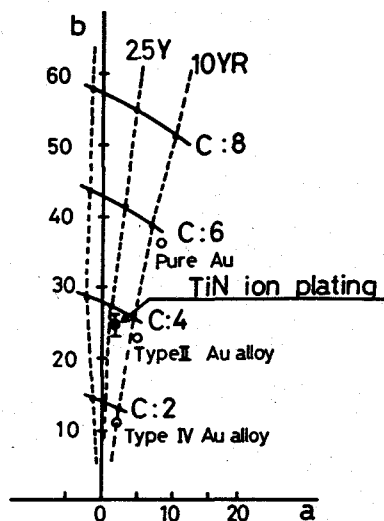


Fig. 3. The colorimetric properties of TiN ion-plating film.

2. Ion-plating 膜의 性狀 調査

1) 蒸着層의 두께 및 表面 組織

Fig.4에 ion-plating한 表面의 性狀(a)과, 蒸着層의 두께를 確認하기 위한 斷面의 注射電子顯微鏡 사진(b)을 보여 주고 있다. 蒸着層의 두께는 均一하지 않지만 全體的으로 약 2 μm 정도의 蒸着膜이 形成되었음을 알 수 있다. Bias 電壓 200V, 真空曹 溫度 250°C, 질소 가스 分壓 6×10^{-4} torr의 條件下에서 約 2 μm 두께의 蒸着層이 얹어짐을 알 수 있었다.

蒸着層의 表面 性狀은 全體的으로 거칠고, 柱狀化되어 있음을 알 수 있다. 이러한 現象의 原因은 ion-plating하기 前의 前處理인 emery-paper로 機械的 研磨를 한 結果 形成된 scratch 위에 蒸着層이 形成되었기 때문인 것으로 생각되어진다. 그러나, ion-plating에 의해 얹어진 蒸着膜의 形狀은 真空曹 溫度에 의해서도 影響을 받을 수 있다. 즉, 物質의 融點을 尺度로 하여 融點의 25%와 50%를 境界로 하였을 때 溫度範圍는 zone 1, 2, 3으로 區分되고, zone 1에서 3으로 갈수록 密度가 낮은 膜에서 細密한 膜이 얹어진다. 또한 高真空 蒸着에서 均一한 膜이 얹어지는 基板 溫度에서도 가스 壓力이 높을수록 柱狀化가 되어 膜의 形狀이 거칠게 되기 때문에 ion-plating에 의해 얹어진 蒸着膜의 形狀은 真空曹의 溫度와 가스 壓力에 의해서도 影響을 받을 수 있다⁴⁾. 이와 같은 점들을 考慮해 볼 때 本 實驗에서의 真空曹 溫度는 250°C로 融點의 약 25%정도의 낮은

溫度이고, 가스 分壓도 6×10^{-4} torr로 높은 편이므로 이들 두 가지 條件이 相互 作用하여, 柱狀化되고 약간은 거칠은 蒸着膜이 얹어진 것으로 생각되어진다.

2) X-線 回折 試驗

Fig.5에서는 蒸着하지 않은 試片의 X-線 回折 pattern(a)과 蒸着後의 X-線 回折 pattern(b)을, Table 2, 3에서는 그 結果를 정리하고 있다. (b)에서 나타난 peak에 Table 1의 JCPDS card의 값이 包含되는 것으로부터 TiN의 相이 形成되었음을 알 수 있다. 또, ion-plating하지 않은 試料와 比較하여 回折 pattern이 底角度側으로 약간 移動하였고, 回折線의 幅도 더 넓어졌음을 알 수 있었다.

吉成⁶⁾은 Ag-In, Ni-Mn, Cu-Al 合金의 ion-plating 膜의 性質을 調査하여 底角度側으로 移動한 原因으로서 1) 組成의 變化에 의해 格子定數가 크게 되었고, 2) 引長應力에 의한 均一한 變化가 생겼기 때문이라고 說明하고, 回折線의 幅이 커진 理由로서는 1) 微結晶이 되었고, 2) 不均一한 strain이 생겼기 때문이라고 하였다.

또, 吉原等¹⁰⁾은 Ag ion-plating 膜의 性質을 調査하여, ion-plating 膜에 引長應力이 存在하고, 微結晶 粒子가 等方的으로 存在하는 것으로 報告하였다.

따라서 本 實驗에서 얹어진 ion-plating 膜의 X-線 回折 結果를 分析해 보면 이 膜은 非結晶이 아닌 結晶質이며 그 組織이 微細한 結晶 粒子로 이루어진 것으로 思料된다.

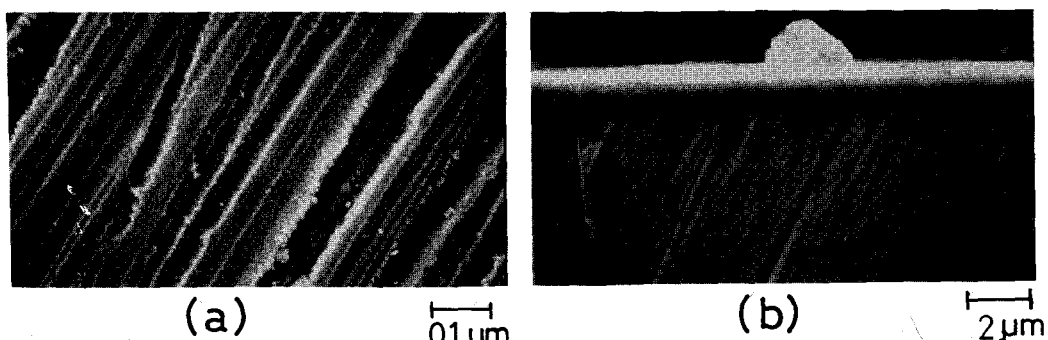


Fig. 4. SEM photographs of surface morphology (a) and cross section (b).

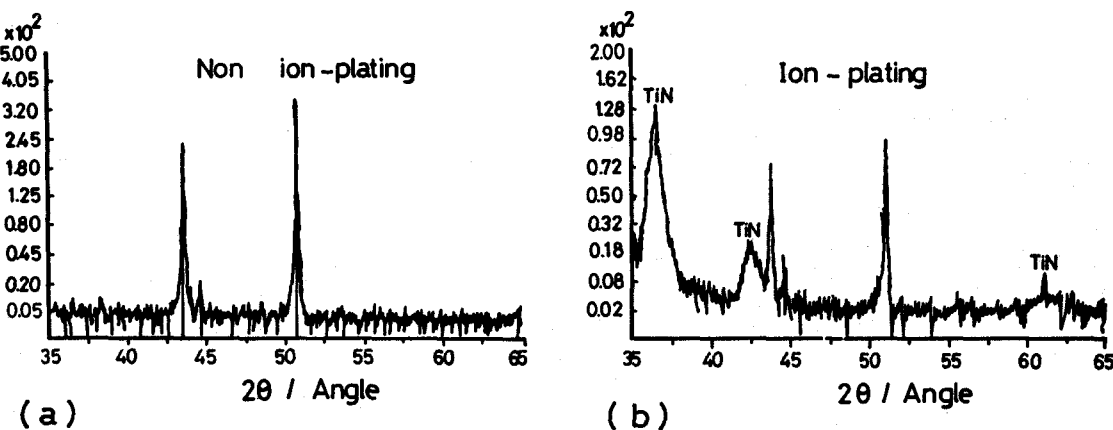


Fig. 5. Typical X-ray diffraction pattern of stainless steel (a) and TiN ion-plated stainless steel (b).

Table 2. Results of obtained peak of non ion-plated stainless steel

Peak No.	Angle (deg)	Tip width (deg)	d (Å)	I/I _{max} (%)
1	43.84	0.10	2.07	78.45
2	44.67	0.24	2.02	3.34
3	50.74	0.10	1.79	100
4	50.90	0.06	1.79	47.02

Table 3. Results of obtained peak of TiN ion-plated stainless steel

Peak No.	Angle (deg)	Tip width (deg)	d (Å)	I/I _{max} (%)
1	36.34	0.24	2.47	93.85
2	42.51	0.72	2.12	21.97
3	43.78	0.20	2.06	69.44
4	44.62	0.20	2.02	11.11
5	51.01	0.12	1.78	100
6	51.18	0.08	1.78	47.27
7	61.09	1.92	1.51	11.11

3) 蒸着層의 密着性 實驗

密着力 (Adhesive strength) 은 物理, 化學的으로 密着되어 있는 두 物質 사이를 分離시키는데 必要한 힘으로 定義되고, 本 實驗에서는 diamond tip에 連續的으로 荷重을 增加시키면서 蒸着層을 削을 때 蒸着層과 母材 사이의 界面이 分離되는 荷重을 音響放出 (Acoustic

Emission)로 測定하여 臨界 荷重으로 정하였다.

Fig. 6에는 가해준 荷重과 그때 發生하는 Acoustic Emission signal을, Fig. 7에는 scratching한 表面의 注射電子顯微鏡 사진을 나타내고 있다. 하나의 試驗片에 대하여 3回의 實驗을 行하였고 注射電子顯微鏡 사진의 a, b, c는 각 load stage에서의 結果를 나타내고

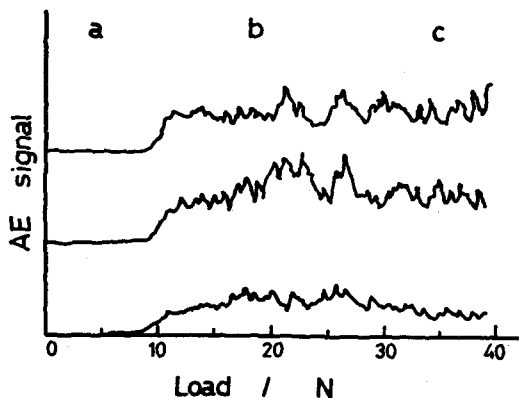


Fig. 6. Typical acoustic emission release pattern in scratch adhesion test.

있다. a 段階에서는 아무런 Acoustic Emission signal의 發生이 없고, 表面에서도 蒸着

膜의 薄離現象을 나타내지 않았다. 荷重이 10 N 以上인 stage b에서는 蒸着層과 母材의 薄離現象을 確認할 수 있고, 그 結果 Acoustic Emission이 連續的으로 放出되고 있었다. 즉, 本 實驗에서 얻어진 TiN ion-plating 膜은 약 10N의 臨界 荷重에서 薄離現象을 보임을 알 수 있었다.

3. 引長 實驗

Fig. 8에 ion-plating하지 않은 線材와 ion-plating한 線材의 荷重-延伸 曲線을 보여주고 있고, 이때 얻어진 引長強度, 降伏強度, 延伸率의 値은 Table 4에 나타나있다. Ion-plating을 하지 않은 線材의 引長強度 値은 $171.1 \text{kg} \cdot \text{f/mm}^2$, 降伏強度 値은 $155.6 \text{kg} \cdot \text{f/mm}^2$, 延伸率 5.

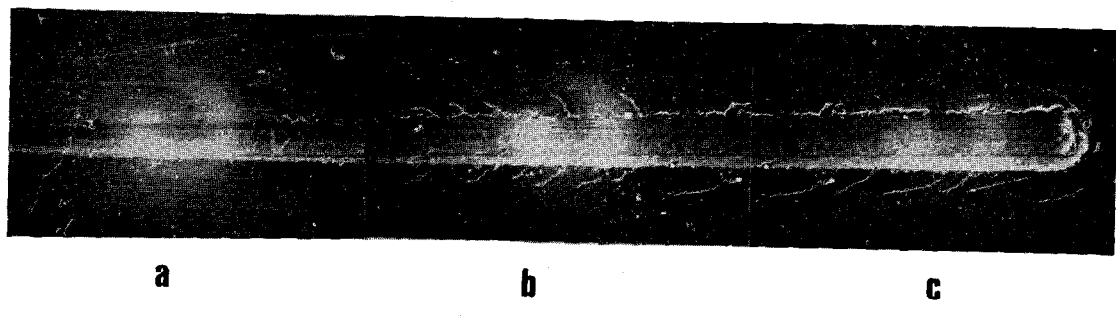


Fig. 7. SEM photograph of the trace resulted from the scratch adhesion test.

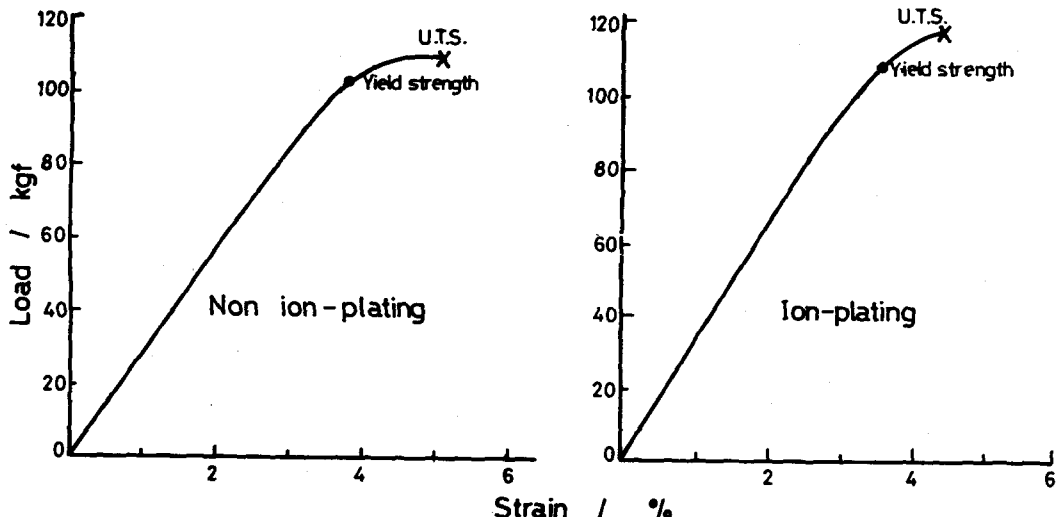


Fig. 8. Typical load-elongation curves of non ion-plated and ion-plated specimen.

Table 4. Mechanical properties of non ion-plated & TiN ion-plated orthodontic wires

	Tensile strength (Kg · f/mm ²)	Yield strength (Kg · f/mm ²)	Elongation (%)
Non ion-plated	171.1	155.6	5.5
TiN ion-plated	181.9	168.1	4.5

5%를 나타내었고, 이線材에 ion-plating處理를 하였을때는 引長强度 181.9kg · f/mm², 降伏强度 168.1kg · f/mm², 延伸率 4.5%를 보였다.

이와같이 ion-plating處理를 하므로써 引長强度, 降伏强度는 約 10kg · f/mm²의 增加를 보였고, 반면 延伸率은 1%의 減少를 보였다. 즉, 約 2μm의 높은 硬度를 가지는 ion-plating膜이 形成되므로써 機械的 性質이 增加한 것으로 料된다.

以上 本 實驗의 結果로 부터 矯正裝置物에 ion-plating法으로 TiN薄膜을 蒸着시켰을때審美的으로 gold alloy와 비슷한 色彩的性質을 갖는다는 것을 알 수 있고, 또한 TiN薄膜의 諸性質들을 檢討하여 보았다.

그러나 本 實驗은 矯正用 裝置物에 ion-plating으로 TiN薄膜의 蒸着可能性 및 諸性質을 알아본 基礎實驗에 그쳤고, 以後 口腔內에서 長時間 使用에도 견디어 낼수 있는 變色, 磨耗, 腐蝕抵抗등에 대한 實驗의 좋은 結果가 얻어진다면 臨床應用의 길도 열릴 것으로 料된다.

IV. 結論

矯正物 裝置物에 TiN ion-plating을 行하여 그色彩的性質, ion-plating膜의 性狀 및 機械的性質을 觀察한 結果 다음과 같은 結論을 얻었다.

· Ion-plating膜의 色彩的性質은 L*, a*, b*가 각각 61.8, 3.3, 26.2이었고, 이값은

JIS標準色表에서 거의 2.5Y의 色相을 가지고, 明度는 약 6, 彩度는 약 4의 값을 나타내었다.

- 얇어진 ion-plating膜의 두께는 약 2μm이었으며, 積層形態는 약간 不規則한 形狀을 나타내었다.
- Ion-plating膜은 TiN相임을 알 수 있었다.
- 蒸着膜의 母材에 대한 密着力은 약 10N이었다.
- Ion-plating한 試片의 引長强度 및 降伏强度는 ion-plating하지 않은 試片에 비해 약 10kg · f/mm²정도 增加하였고, 延伸率은 1%減少하였다.

参考文獻

1. 河野 昌, 南 三浪: イオンプレーティング法による耐磨耗, 耐食性表面被覆, 金属臨時増刊号, 8: 55-59, 1977.
2. 清水 昭, 南 二浪: 装飾を目的としたイオンプレーティング技術, 金属臨時増刊号, 3: 48-52, 1982.
3. 柏木 邦宏: イオンプレーティング, 金属表面技術, 30: 231-240, 1979.
4. 小宮 宗治: 真空蒸着, スパッタリング, イオンプレーティング, 金属材料, 30: 27-35 1983.
5. 吉成 正雄: イオンプレーティングの歯科修復物への応用に関する研究(I), 歯科材料・器械, 3: 71-78, 1984.
6. 吉成 正雄: イオンプレーティングの歯科修復物への応用に関する研究(II), 歯科材料・器械, 4: 97, 105, 1985.

7. 吉成 正雄：イオンプレーティングの歯科修復物への応用に関する研究(Ⅲ)，歯科材料・器械，5：17-25，1986.
8. 吉成 正雄，清藤 太郎，住井 俊夫：イオンプレーティング法によるアルミナーステンレス鋼複合材料の特性について，歯科材料・器械，7：585-591，1988.
-591，1988.
9. 黄 燕清，松村 義人：金色に至る道，金属51：16-21，1981.
10. 吉原 秀雄，木内 乾保，青木 武，梅材 茂：銀イオンプレーティング膜の諸性質，日本金属学会誌，40：999-1006，1977.

- ABSTRACT -

**APPLICATION OF TiN ION-PLATING TO THE
ORTHODONTIC APPLIANCE**

Oh-Won Kwon*, Kyo-Han Kim**

Department of Orthodontics, Department of Dental Materials***

College of Dentistry, Kyungpook National University

To estimate the possibility of the application of TiN ion-plating to the orthodontic appliance, colorimetric properties, and characteristics of ion-plated film as well as adhesive strength of TiN film to the substrate and mechanical properties of ion-plated orthodontic appliance were investigated.

The obtained results were as follows:

- 1) TiN ion-plated film had the colorimetric properties which were the hue of about 2.5 Y, the brightness of about 6, and the chroma of about 4 by the standard color chip of JIS.
- 2) TiN ion-plated film was $2\mu\text{m}$ in thickness and its deposition pattern was rather irregular.
- 3) TiN phase was confirmed on the X-ray diffraction pattern.
- 4) Critical load for delamination of ion-plated film from stainless steel band was 10N.
- 5) Tensile and yield strength of ion-plated specimen was increased about $10\text{Kg}\cdot\text{f}/\text{mm}^2$, while elongation was decreased 1% compairing to the values of the non ion-plated specimen.